

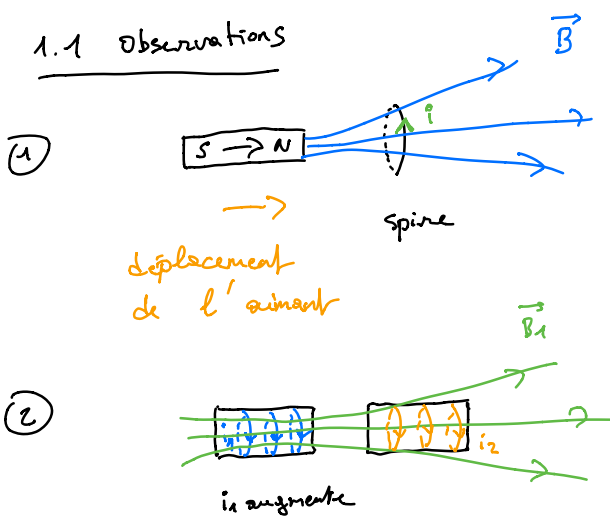
INDUCTION

1. Phénomène d'induction

conducteur en mouvement dans un champ magnétique

→ apparition d'une tension aux bornes du conducteur
(d'un courant électrique si le circuit est fermé)

1.1 Observations



Le déplacement de l'aimant induit un courant électrique dans la spire ($i > 0$ avec les sens indiqués sur le schéma)

la variation de i_1 , et donc de \vec{B}_1 créée par la première bobine induit un courant i_2 dans la seconde bobine (le circuit étant fermé)

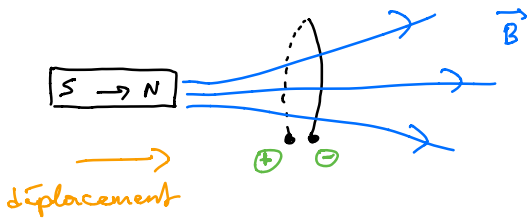
(on aura $i_2 < 0$)

Dans ces deux situations, le phénomène d'induction est dû à "quelque chose qui varie": soit le champ \vec{B} est constant et il y a un déplacement, soit il n'y a pas de déplacement mais le champ \vec{B} varie -

1.2 Interprétation

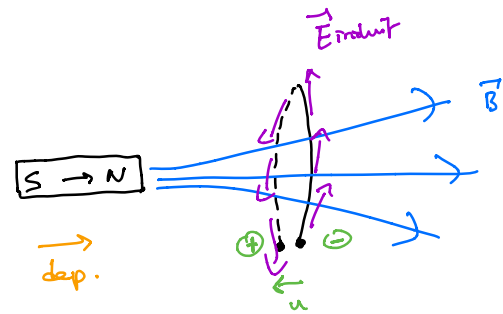
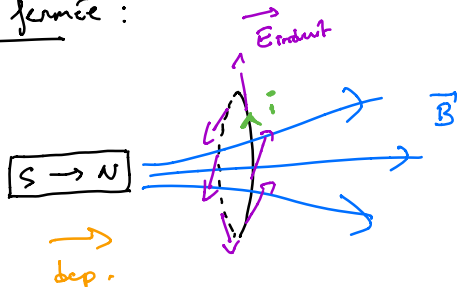
Il n'y a pas systématiquement un courant induit avec les phénomènes d'induction: il faut pour cela que le circuit soit fermé.

Si on réalise les expériences précédentées en circuit ouvert, on observe l'apparition d'une tension induite aux bornes du circuit (mais pas de courant).



Entre les 2 situations (circuit ouvert ou circuit fermé), ce qui il y a de commun est l'apparition d'un champ électrique induit.

spire fermée:



on définit la fém (force électromotrice) comme la circulation du champ électrique induit :

$$e = \int_{\text{circuit}} \vec{\text{Einduit}} \cdot d\vec{l}$$

La fém s'exprime en volts.

1.3 Loi de Lenz

↪ la loi qualitative qui permet de déterminer le sens du courant induit (si courant il y a, ça ne fonctionne donc que pour un circuit fermé).

Le courant tend, par ses effets, à annuler la cause qui l'a provoqué.

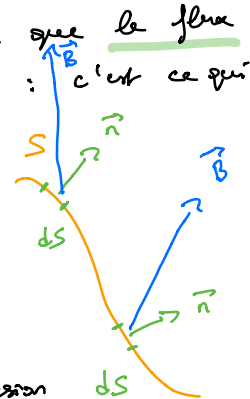
2. Lois de l'induction

2.1 Flux du champ magnétique

Dans les situations précédentes, on peut remarquer que le flux du champ magnétique au travers de la spire varie : c'est ce qui est à l'origine du phénomène d'induction

Le flux de \vec{B}
s'exprime en $T \cdot m^2$
(= Weber)

$$\Phi(\vec{B}/S) = \iint_S \vec{B} \cdot \vec{n} dS$$

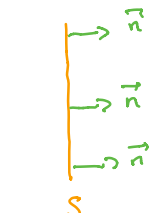


Dans le cas simple \vec{B} uniforme, alors l'expression

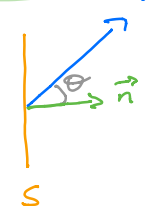
est plus simple: $\Phi(\vec{B}/S) = \vec{B} \cdot \vec{n} \iint_S dS$
 $= S$ (aire de la surface)

Ainsi, $\Phi(\vec{B}/S) = \vec{B} \cdot \vec{n} S = B S \cos(\theta)$

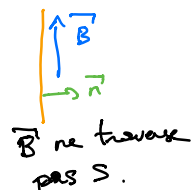
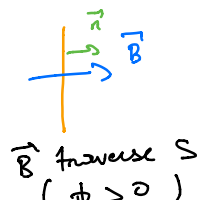
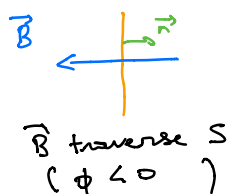
S plane
 B uniforme



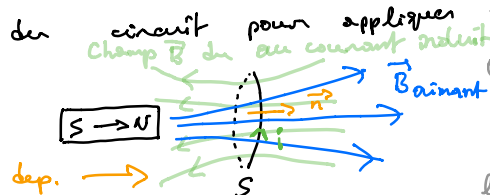
surface plane:
 \vec{n} est partout
le même



Rem: si $\vec{B} \perp \vec{n}$, $\Phi(\vec{B}/S) = 0$: le champ \vec{B} ne traverse pas S .



On peut utiliser le flux du champ magnétique au travers
du circuit pour appliquer la loi de Lenz:



Quand on déplace l'aimant vers la droite,
 $\Phi \uparrow$ (la spire est traversée par un
champ z élevé): le courant induit dans
la spire crée un champ \vec{B} qui vise
à diminuer ce flux.

2.2 Loi de Faraday

- valable pour un circuit fermé uniquement
- relie la fém induite et la variation de flux (du champ \vec{B} au travers du circuit)

$$e = - \frac{d\phi}{dt}$$

flux de \vec{B} au travers
du circuit

fém induite
le long du circuit

aspects dimensionnels:
 $q\vec{E}$ et $q\vec{v} \times \vec{B}$ sont des forces, donc
 $T \cdot m \cdot s^{-1} = V \cdot m^{-1}$, donc $T \cdot m^2 \cdot s^{-1} = V$

! attention aux conventions d'orientation : le sens choisi pour la fém et le sens choisi pour calculer le flux de \vec{B} doivent être cohérents.



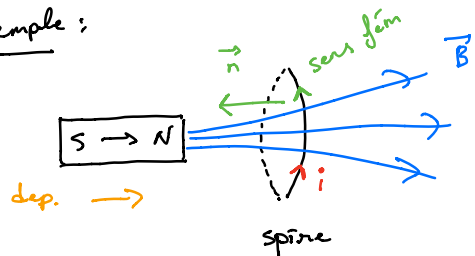
2.3 Modélisation des effets inductifs

Pour pouvoir relier la fém induite aux autres grandeurs électriques (notamment), on utilise un circuit électrique équivalent.

Sur ce circuit électrique (fermé), on indique :

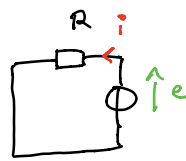
- le sens du courant (sens choisi pour convention)
- une source de tension de fém e (force électromotrice nulle)
- une résistance R qui modélise la résistance (totale) du circuit
- Eventuellement d'autres éléments (bobines, condensateurs ...) qui modélisent d'autres phénomènes dans le circuit.

exemple :



dep. \rightarrow

→
circuit
électrique
équivalent



loi de maille :

$$e - Ri = 0$$

$$\text{donc } i = \frac{e}{R}$$

(il est préférable de prendre
i et la fém dans le
même sens)

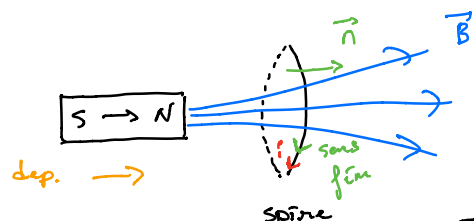
Sens (réel) du courant ?

$$e = -\frac{d\phi}{dt}, \text{ avec } \phi < 0 \text{ et } |\dot{\phi}| \nearrow, \text{ donc } \dot{\phi} \nearrow$$

$$\text{on a donc } e > 0 \quad (\frac{d\phi}{dt} < 0)$$

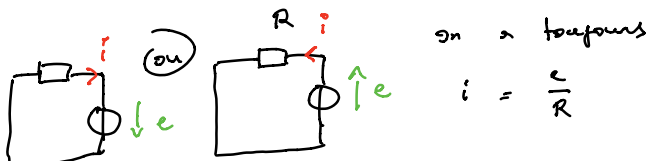
$$\text{et donc } i > 0 \quad (i = e/R)$$

On aurait pu prendre une autre convention (\vec{n} dans l'autre sens) :



dep. \rightarrow

le circuit électrique équivalent
est le même (fém et i dans
le même sens)



on a toujours
 $i = \frac{e}{R}$

$$\text{Cette fois, } \phi > 0 \quad (\text{et } |\dot{\phi}| \nearrow), \text{ donc } \dot{\phi} \nearrow$$

$$e = -\frac{d\phi}{dt}, \text{ donc } e < 0, \text{ et donc } i < 0$$

On retrouve bien le même sens réel du courant.

2.4 Cas de Lorentz et cas de Neumann

Q d'induction : 2 cas

- circuit mobile dans \vec{B} constant : Lorentz
- circuit fixe dans \vec{B} variable : Neumann

On peut imaginer des situations où il y a les deux à la fois (mais pas pour cette année).

Les raisons du Q d'induction sont différentes, mais le résultat est le même (et la loi de Faraday - pour un circuit fermé - fonctionne dans les deux cas).

3. Induction propre

On est dans le cas de Neumann (circuit fixe, \vec{B} variable).

On s'intéresse aux Q d'induction dans une bobine due à son propre champ magnétique (d'où le nom d'induction propre ou auto-induction) \rightarrow self

3.1 Inductance propre

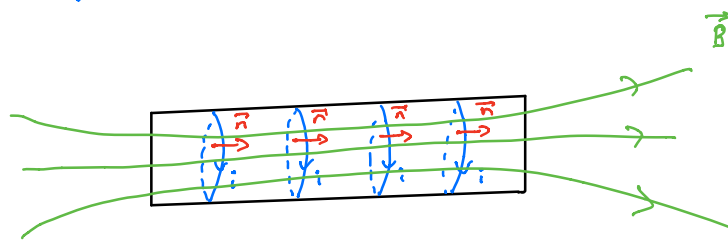
L'inductance propre d'une bobine (généralement appelée inductance et notée L , s'exprime en Henry) relève le flux propre (le flux au travers de la bobine du champ magnétique créé par la bobine) et le courant qui circule dans la bobine :

$$\Phi = L i$$

courant

flux propre

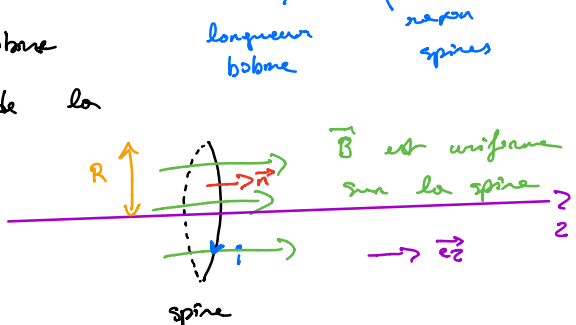
inductance (propre)



⚠ \vec{n} choisi pour calculer le flux doit être cohérent avec le sens choisi pour i (pour avoir $L > 0$)

Calcul de L dans l'approximation du solénoïde défini
(pertinent pour une bobine suffisamment allongée, $l \gg R$)

Le champ à l'intérieur de la bobine
(donc celui qui traverse les spires de la
bobine) vaut $\vec{B} = \mu_0 \frac{N}{l} i \hat{z}$
on voit que $\vec{n} = \hat{z}$



flux au travers d'une spire :

$$\phi_{\text{spire}} = \vec{B} \cdot \vec{n} S = \mu_0 \frac{N}{l} i \pi R^2$$

le flux au travers de toute la bobine est égal au flux au travers
d'une spire multiplié par le nombre de spires.

$$\text{le flux propre est donc égal à : } \phi = \mu_0 \frac{N^2}{l} \pi R^2 i$$

Comme (par définition) $\phi = L i$, on obtient :

$$L = \mu_0 \frac{N^2}{l} \pi R^2$$

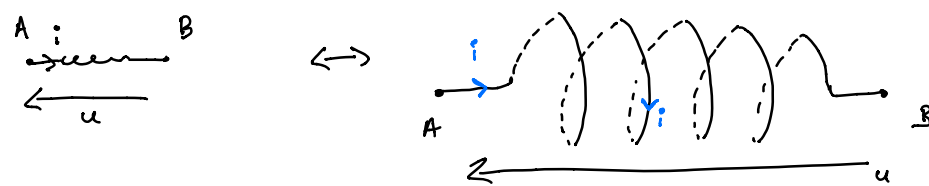
ordre de grandeur : $l = 50 \text{ cm} ; R = 2 \text{ cm} ; N = 1000$

$$L = \frac{4 \pi \cdot 10^{-7} \times 1000^2 \times \pi \times 0,02^2}{0,5} \approx 16 \cdot 10^{-4} \text{ H}$$

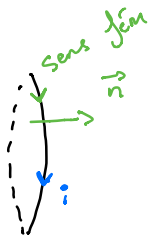
(1,6 mH)

3.2 Auto-induction

on a déjà vu la loi qui caractérise le comportement d'une bobine en régime variable : $\frac{i}{u} \xrightarrow{\text{comm}} u = L \frac{di}{dt}$ (convention récepteur)



en conservant une spine :



cohérence entre les choix pour i et n car $\Phi = Li$

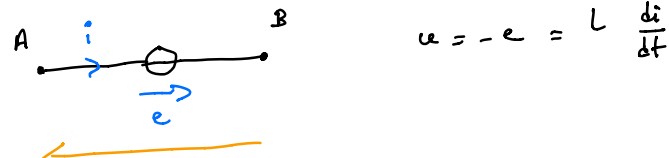
cohérence entre les choix pour n et sens filin car

$$e = - \frac{d\Phi}{dt}$$

on a donc $e = - \frac{d\Phi}{dt}$ et $\Phi = Li$,

d'où $e = -L \frac{di}{dt}$ avec e et i orientés dans le même sens

Si on néglige la résistance de la bobine, on obtient le circuit électrique équivalent entre A et B :



Si on prend en compte la résistance r de la bobine :

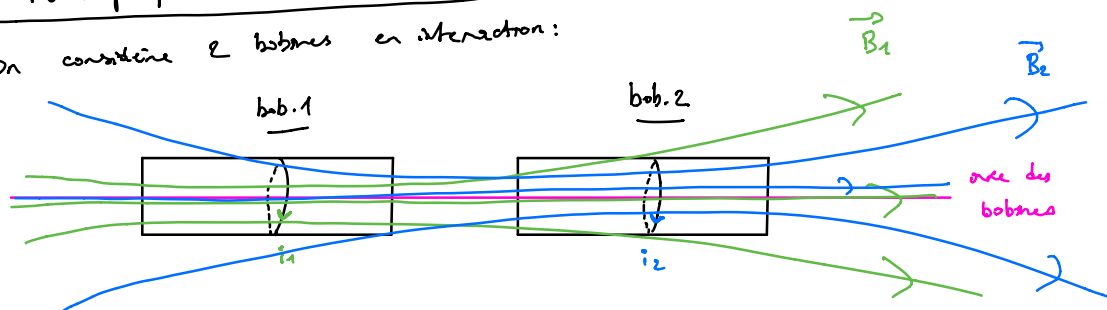


4. Induction mutuelle

→ induction dans une bobine due au champ magnétique créé par une autre bobine

4.1 Flux propre et flux extérieur

On considère 2 bobines en interaction :



le flux (du champ magnétique) au travers de la bobine 1 s'écrit:

$$\Phi_1 = \Phi_{11} + \Phi_{12}$$

flux au travers
de la bob. 1

contribution due à \vec{B}_1 : flux propre

contribution due à \vec{B}_2 :
flux extérieur

de même, on a: $\Phi_2 = \Phi_{21} + \Phi_{22}$

flux extérieur

flux propre

4.2 Coefficient d'inductance mutuelle

On reprend la situation précédente:

$$\Phi_1 = \Phi_{11} + \Phi_{12}$$

Φ_{11} , flux propre, est relatif à \vec{B}_1 et donc à i_1 : $\Phi_{11} = L_1 i_1$

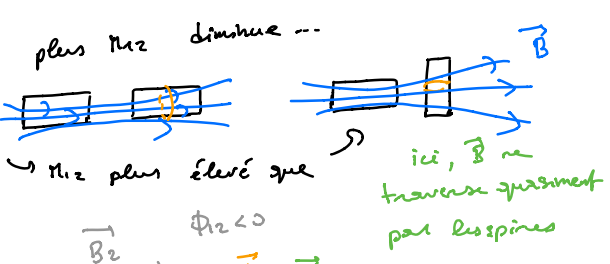
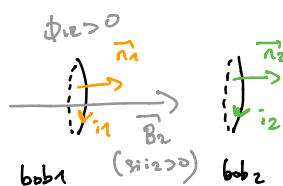
Φ_{12} , flux extérieur (flux de \vec{B}_2 au travers de la bob. 1)
est relatif à \vec{B}_2 , et donc à i_2 :

$$\Phi_{12} = M_{12} i_2$$

coefficient d'inductance mutuelle
 $\text{bob}_2 \rightarrow \text{bob}_1$ (flux au travers
de bob1 du champ de bob2)

Le coefficient d'inductance mutuelle entre 2 bobines dépend de leur
constitution (forme, taille, nb spires ...) et de leur position / orientation
relative:

- plus les bobines sont éloignées et plus M_{12} diminue ...
- l'orientation est importante
- le signe dépend de l'orientation
des spires: $\Phi_{12} > 0$



traverse quasiment
par les spires

$$M_{12} > 0$$

$$M_{12} \leq 0$$

On pourrait aussi écrire $\Phi_{21} = M_{21} i_1$.

En fait, $M_{21} = M_{12}$ (on peut le justifier formellement).

On note simplement M le coeff d'inductance mutuelle entre 2 bobines.

Résumé :

$$\begin{aligned}\Phi_1 &= L_1 i_1 + M i_2 \\ \Phi_2 &= M i_1 + L_2 i_2\end{aligned}$$

Les coeffs d'inductance mutuelles, comme les inductances propres, sont en Henry.

Prem : on peut définir une matrice de coefficients d'inductance

$$\begin{pmatrix} L_1 & M \\ M & L_2 \end{pmatrix} \quad \text{et} \quad \begin{pmatrix} \Phi_1 \\ \Phi_2 \end{pmatrix} = \begin{pmatrix} L_1 & M \\ M & L_2 \end{pmatrix} \begin{pmatrix} i_1 \\ i_2 \end{pmatrix}$$

On peut généraliser à un nombre quelconque de bobines en interaction

4.3 Exemple de 2 solenoides "infinis" imbriqués, coefficient de couplage

On considère 2 bobines, mais sur le même support : 2 fils distincts sont bobinés sur un support commun et constituent chacun une bobine.

Dans l'approximation du solénoïde infini, à l'intérieur, on a :

$$\vec{B}_1 = \mu_0 \frac{N_1}{l} i_1 \vec{e}_z$$

$$\vec{B}_2 = \mu_0 \frac{N_2}{l} i_2 \vec{e}_z$$

$$\text{on a déjà vu que } L_1 = \mu_0 \frac{N_1^2}{l} S \quad (S = \pi R^2)$$

$$\text{et } L_2 = \mu_0 \frac{N_2^2}{l} S$$

Calculons M (vu comme M_{12} : flux extérieur au travers de bob., due à \vec{B}_1):
flux/1 spine : $\vec{B}_1 \cdot \vec{n}_2 \cdot S = B_1 S = \mu_0 \frac{N_1}{l} i_1 S$

donc $\phi_{21} = \mu_0 \frac{N_1 N_2}{l} S \sin \theta$ (on multiplie par N_2)
M₂₁

On a donc $M_{21} = \mu_0 \frac{N_1 N_2}{l} S$, soit $M = \mu_0 \frac{N_1 N_2}{l} S$

Rem : On a ici $M^2 = L_1 L_2$, ce qui est caractéristique d'un couplage parfait (le + d'influence des bobines l'une sur l'autre).

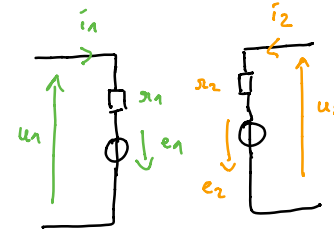
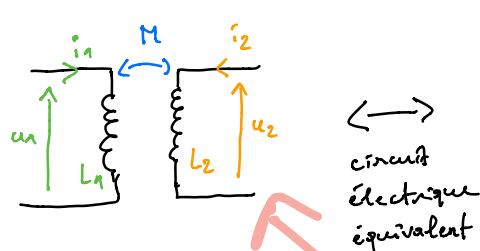
D'une manière générale, $M^2 \leq L_1 L_2$.

On peut définir $k = \sqrt{\frac{M^2}{L_1 L_2}}$: coeff de couplage

$0 \leq k \leq 1$
↓ \rightarrow couplage parfait
 pas de couplage

4.4 Circuits électriques couplés

→ couplés par inductance mutuelle (chaque des 2 circuits comporte une bobine - ou du moins une "partie inductive" modélisable par une inductance).



Pour le 1^o circuit :

$$e_{11} = -e_1 + r_1 i_1 \quad \text{on retrouve la même chose que pour un bobine seule, en convention récepteur}$$

$$= L_1 \frac{di_1}{dt} + r_1 i_1 + M \frac{di_2}{dt}$$

$$e_{21} = -e_2 + r_2 i_2 = L_2 \frac{di_2}{dt} + r_2 i_2 + M \frac{di_1}{dt}$$

$$e_{11} = -\frac{d\phi_1}{dt} = -\frac{d}{dt} (L_1 i_1 + M i_2)$$

$$= -L_1 \frac{di_1}{dt} - M \frac{di_2}{dt}$$

$$e_{21} = -\frac{d\phi_2}{dt} = -\frac{d}{dt} (M i_1 + L_2 i_2)$$

$$= -M \frac{di_1}{dt} - L_2 \frac{di_2}{dt}$$

on retient les résultats :

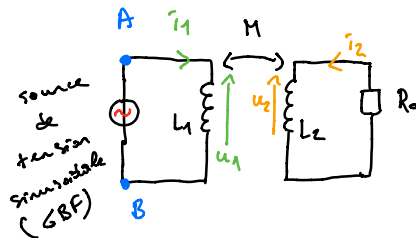
$$u_1 = L_1 \frac{di_1}{dt} + n_1 i_2 + M \frac{di_2}{dt}$$

$$u_2 = L_2 \frac{di_2}{dt} + n_2 i_1 + M \frac{di_1}{dt}$$

⚠️ ça marche avec les conventions
(C.R pour chaque bobine)

système de 2 équations différentielles couplées

exemple :



on néglige les résistances des 2 bobines.

Quelle est l'impédance équivalente vue du GBF ? (entre les points A et B)

On reprend les équations précédentes

(on a les mêmes conventions), sans les résistances internes des bobines:

$$u_1 = L_1 \frac{di_1}{dt} + M \frac{di_2}{dt} \quad \text{et} \quad u_2 = L_2 \frac{di_2}{dt} + M \frac{di_1}{dt}$$

On passe aux grandeurs complexes :

$$\underline{u_1} = f L_1 \omega \underline{i_1} + f M \omega \underline{i_2} \quad (1)$$

$$\underline{u_2} = f L_2 \omega \underline{i_2} + f M \omega \underline{i_1} \quad (2)$$

on a, de plus, $u_2 = -R_o \underline{i_2}$ (convention génératrice pour R_o),
d'où : $\underline{u_2} = -R_o \underline{i_2} \quad (3)$

On combine (1), (2) et (3) pour obtenir une relation entre $\underline{i_1}$ et $\underline{i_2}$:

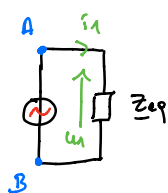
$$(2) \text{ et } (3) \text{ donnent } f L_2 \omega \underline{i_2} + f M \omega \underline{i_1} = -R_o \underline{i_2},$$

$$\text{soit } \underline{i_1} = -\frac{1}{f M \omega} (R_o + f L_2 \omega) \underline{i_2}, \text{ et donc } \underline{i_2} = \frac{-f M \omega \underline{i_1}}{R_o + f L_2 \omega}$$

$$\text{et on injecte dans (1)} : \underline{u_1} = f L_1 \omega \underline{i_1} - \left(\frac{f M \omega \underline{i_1}}{R_o + f L_2 \omega} \right)$$

$$\text{et donc } \underline{u_1} = f \omega \left(L_1 - \frac{f \omega M^2}{R_o + f L_2 \omega} \right) \underline{i_1} = \underline{z_{eq}} \underline{i_1}$$

Du point de vue du GBF :



on a donc

$$\underline{u_1} = \underline{z_{eq}} \underline{i_1}$$

$$\text{d'où } \underline{z_{eq}} = \left(L_1 - \frac{f \omega M^2}{R_o + f L_2 \omega} \right) f \omega$$

4.5 Transformateur

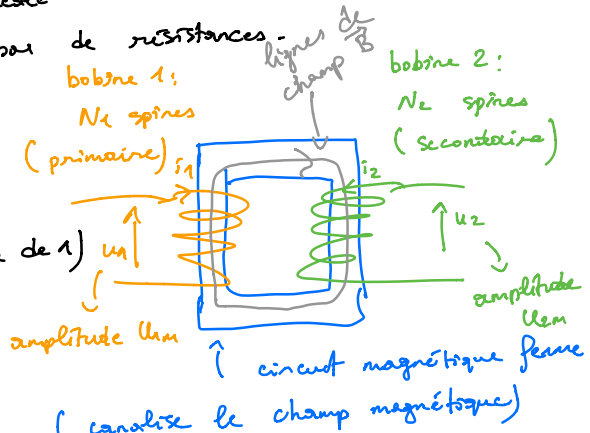
→ on se limite à une vision "réale" des choses, avec un couplege parfait entre les 2 bobines, et pas de résistances.

principe : mettre 2 bobines avec des nombres de spires différents en interaction (coeff. couplage proche de 1)

principal résultat :

$$\frac{U_{2m}}{U_{1m}} = \frac{N_2}{N_1}$$

loi des tensions



⚠ un transformateur ne fonctionne pas en régime continu (on aurait $u_2 = 0$!)
on utilise les transformateurs en régime sinusoidal

On appelle ce dispositif transformateur car, en jouant sur le rapport $\frac{N_2}{N_1}$, on peut augmenter (si $N_2 > N_1$) ou diminuer (si $N_2 < N_1$) la valeur de la tension (l'amplitude) entre l'entrée (u_1) et la sortie (u_2) du transformateur.

ex: $400\ 000 \text{ V} \rightarrow 20\ 000 \text{ V}$ (haute tension → moyenne tension)
il faut $N_1 = 20 N_2$ ($\frac{N_2}{N_1} = \frac{1}{20}$)

On peut justifier la loi des tensions en utilisant les équations précédentes (on néglige les résistances) :

$$u_1 = L_1 \frac{di_1}{dt} + M \frac{di_2}{dt} \quad (1)$$

$$u_2 = L_2 \frac{di_2}{dt} + M \frac{di_1}{dt} \quad (2)$$

(1) donne $\frac{di_2}{dt} = \frac{1}{M} \left(u_1 - L_1 \frac{di_1}{dt} \right)$ et on injecte dans (2) :

$$u_2 = \frac{L_2}{M} \left(u_1 - L_1 \frac{di_1}{dt} \right) + M \frac{di_1}{dt} = \frac{L_2}{M} u_1 + \left(M - \frac{L_1 L_2}{M} \right) \frac{di_1}{dt}$$

d'où $\frac{u_2}{u_1} = \frac{L_2}{M}$ et, idéalement, on a $\frac{L_2}{M} = \frac{N_2}{N_1}$ (cf ex. du 4.3)

nul en cas de couplege parfait,
car alors $M^2 = L_1 L_2$

et finalement $\frac{u_2}{u_1} = \frac{N_2}{N_1}$

5. Induction dans des circuits mobiles (cas de Lorentz)

5.1 Rails de Laplace

Il y a un cas d'induction dans le barreau mobile

(circuit électrique en mouvement dans un champ magnétique), avec un courant induit (circuit fermé).

distance l
entre les rails

on ferme le circuit entre les 2 rails

circuit fermé

barreau mobile (conducteur), roule sur les rails

sens fém

$\vec{B} = \frac{\partial \vec{\Phi}}{\partial t}$

champ magnétique

(constant/uniforme)

H

sens fém

$\vec{v} = v \vec{x}$

on impose au barreau mobile un déplacement

rails conducteurs parallèles

$$\text{fém induite: } e = -\frac{d\Phi}{dt} \text{ avec } \Phi = \vec{B} \cdot \vec{n} S = B l x$$

$$\text{d'où } e = -B l \frac{dx}{dt} = -B l v$$

circuit électrique équivalent (on prend en compte la fém induite et la résistance de l'ensemble):

$$\text{on a alors } i = \frac{e}{R}$$

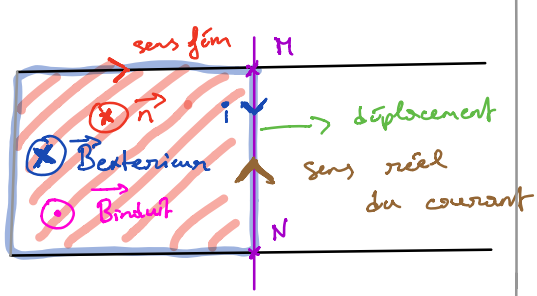
et donc

$$i = -\frac{B l v}{R}$$

Si le déplacement avait lieu dans l'autre sens, le courant induit serait dans l'autre sens.

Rem: si la vitesse v varie, et donc i varie, en toute rigueur il y a de l'auto-induction, mais elle est négligeable (circuit à une seule spire)

loi des mailles:
 $-Ri + e = 0$



On aurait pu prédire le sens du courant avec la loi de Lenz: le déplacement fait $\uparrow \Phi$, i doit donc créer un champ \vec{B}_{induit} qui s'oppose à l' \uparrow de flux (son flux est $\downarrow \Phi$)

5.2 Freinage électromagnétique

du fait du courant induit qui circule dans le barreau mobile entre M et N , il y a une force de Laplace sur ce barreau -

$$i = -\frac{Blv}{R}$$

on calcule la force de Laplace sur MN :

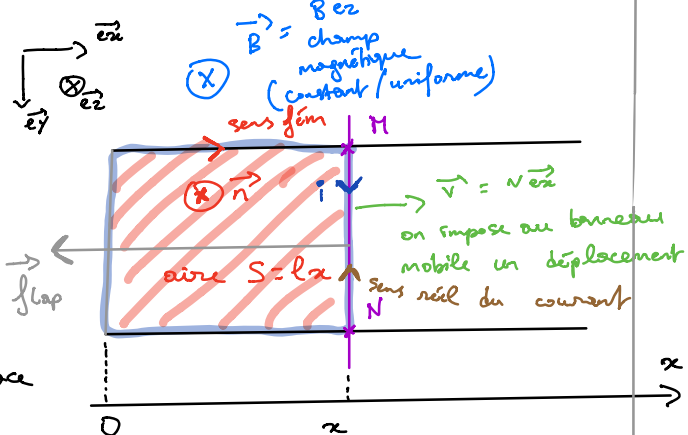
$$\begin{aligned}\vec{f}_{\text{lap}} &= i \vec{MN} \wedge \vec{B} \\ &= i (\vec{l} \vec{ey}) \wedge (\vec{B} \vec{ez}) \\ &= i l B \vec{ez}\end{aligned}$$

$$\text{D'où } \vec{f}_{\text{lap}} = \left(-\frac{Blv}{R}\right) l B \vec{ez}$$

$$\text{Soit : } \vec{f}_{\text{lap}} = -\frac{(Bl)^2}{R} v \vec{ez}$$

$$\text{ou encore } \vec{f}_{\text{lap}} = -\frac{(Bl)^2}{R} \vec{v}$$

Cela correspond à une force de frottement fluide en $\vec{f} = -\kappa \vec{v}$, avec ici $\kappa = \frac{(Bl)^2}{R}$. D'où le nom de freinage électromagnétique.



On peut prévoir directement le sens de la force de Laplace avec la loi de Lenz: le courant induit est du au déplacement vers la droite, la force de Laplace qui résulte de ce courant induit doit donc être vers la gauche, pour s'opposer au déplacement -

5.3 Spire en rotation

Le flux (de \vec{B} au travers de la spire) varie car l'angle θ varie:

$$\begin{array}{c} \theta = 0 \\ \vec{n} \cdot \vec{B} \\ \text{spire} \end{array}$$

$$\phi = B a^2$$

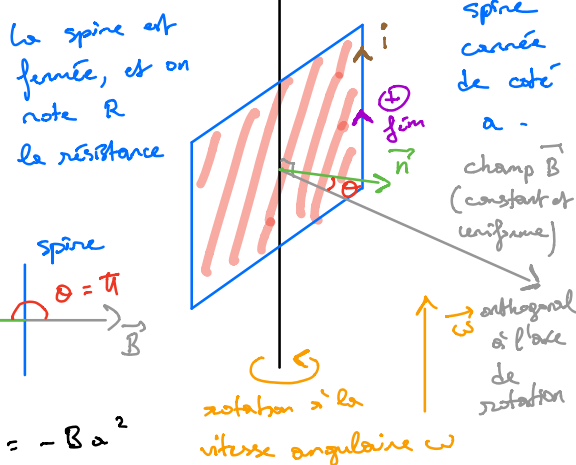
$$\begin{array}{c} \theta = \pi/2 \\ \vec{n} \cdot \vec{B} \\ \text{spire} \end{array}$$

$$\phi = 0$$

$$\begin{array}{c} \theta = \pi \\ \vec{n} \cdot \vec{B} \\ \text{spire} \end{array}$$

$$\phi = -B a^2$$

$$\phi = \vec{B} \cdot \vec{n} \cdot a^2 = B a^2 \cos(\theta)$$



calcul de la fém : $e = - \frac{d\phi}{dt} = - \frac{d}{dt} (B a^2 \cos(\theta)) = Ba^2 \sin(\theta) \times \left(\frac{d\theta}{dt} \right)$

d'où $e = Ba^2 \omega \sin(\theta)$

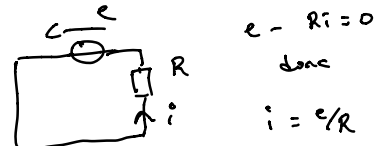
En imaginant que $\omega \gg \omega_0$, $\theta = \omega t (+\infty)$, on a :

$e = Ba^2 \omega \sin(\omega t)$: fém sinusoidale

calcul du courant : on dessine le circuit électrique équivalent :

$$i = \frac{e}{R} = \frac{Ba^2 \omega \sin(\omega t)}{R}$$

le courant induit est sinusoidal



Les alternateurs (centrales électriques notamment) sont basés sur ce principe, et délivrent des tensions / courants sinusoidaux -

6. Bords énergétiques

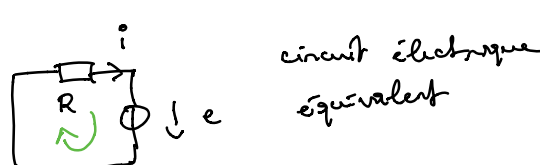
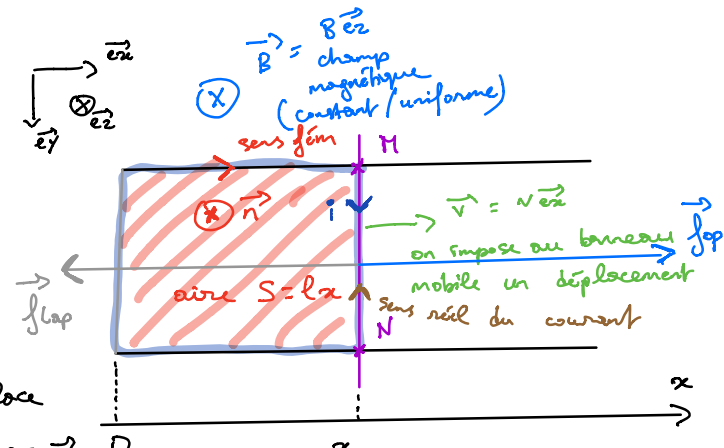
6.1 Rails de Laplace

On reprend la situation précédente (5.1 et 5.2), ainsi que les différents résultats :

$$e = -Blv$$

$$i = -\frac{Blv}{R}$$

$$\vec{f}_{\text{lap}} = -\frac{(Bl)^2}{R} v \vec{e}_x = ilB \vec{e}_x$$



On considère que le barreau mobile se déplace à une vitesse v constante. Il faut donc exercer sur le barreau une force, notée \vec{f}_{op} (force opératrice), qui compense la force de Laplace ($\vec{f}_{\text{op}} = -\vec{f}_{\text{lap}}$).

$$\text{La puissance de cette force est : } P_{\text{op}} = \vec{f}_{\text{op}} \cdot \vec{v} = \left(\frac{(Bl)^2}{R} e^2 \right) \cdot (v \vec{e}_x) = \frac{(Bl)^2 v}{R} e^2$$

Que devient cette énergie ? Elle est dissipée par effet Joule dans la résistance : $P_f = R i^2 = R \left(-\frac{Blv}{R} \right)^2 = \frac{(Bl)^2 v^2}{R}$

6.2 Bilan auxiliaire

On reprend la situation précédente :

- d'un point de vue mécanique :

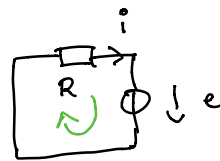
$$P_{\text{mec}} = \vec{f}_{\text{app}} \cdot \vec{v} = \frac{(Bl)^2 v^2}{R}$$

on peut aussi considérer la puissance de la force de Laplace : $P_{\text{laplace}} = \vec{f}_{\text{laplace}} \cdot \vec{v} = -\frac{(Bl)^2 v^2}{R}$

- d'un point de vue électrique :

$$P_f = R i^2 = \frac{(Bl)^2 v^2}{R}$$

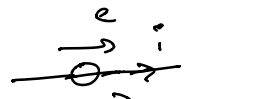
De point de vue du circuit élec. équivalent, d'où vient l'énergie dissipée dans la résistance ? Elle est fournie par la source de tension qui modélise la fém :



$$P_{\text{fém}} = u i$$



c'est la puissance cédée (l'opposé de la puissance reçue), donc $u i$ en convention génératrice



$$\text{d'où } P_{\text{fém}} = e i = \left(-\frac{Blv}{R} \right) \cdot \left(-\frac{Blv}{R} \right)$$

$$= \frac{(Bl)^2 v^2}{R}$$

valeur absolue $\left(\frac{(Bl)^2 v^2}{R} \right)$:

On a donc 4 puissances, égales en valeur absolue $\left(\frac{(Bl)^2 v^2}{R} \right)$:

mécanique: $P_{\text{mec}} > 0$
électrique: $P_{\text{fém}} > 0$

$P_{\text{app}} + P_{\text{laplace}} = 0$: l'énergie cinétique du bateau est constante

électrique: $P_f > 0$
électrique: $P_{\text{fém}} > 0$

$P_f = P_{\text{fém}}$: l'énergie dissipée dans la résistance est fournie par la source de tension.

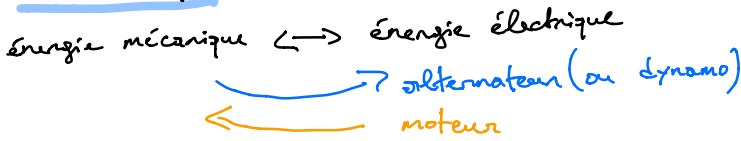
On remarque que P_{laplace} et $P_{\text{fém}}$ sont opposés, ce qui est vrai dans toutes les situations.

on formule alors le bilan auxiliaire :

$P_{\text{app}} + P_{\text{fém}} = 0$

puissance (mécanique) des forces de Laplace sur le circuit mobile

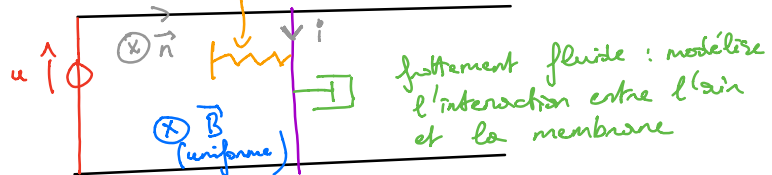
Cette relation traduit le couplage électromécanique, et la conversion



qui modélise les phénomènes d'induction
(et apparaît dans le circuit électrique équivalent)

6.3 Haut parleur

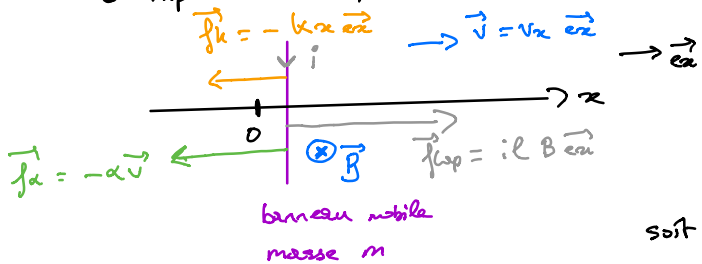
Le "vrai haut-parleur"
+ fil rappel élastique : modélise l'électricité de la membrane



barreau mobile (pour \ddot{x} le rôle de la bobine)

On ne considère pas le vrai haut-parleur car le calcul de la fém induite dans la bobine (du fait de son déplacement) est plus compliqué -

- Aspects mécaniques :



$\ddot{x} = \text{loi de Newton (pour le barreau mobile)}$:

$$m\ddot{x} = f_{up} + f_d + f_s$$

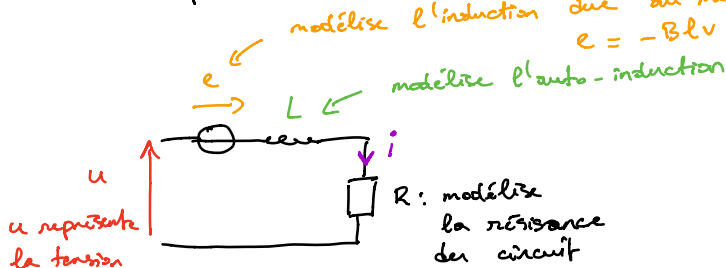
On profite (\ddot{x}) :

$$m\ddot{x} = ilB - kx - \alpha \dot{x}$$

soit $m\ddot{x} + \alpha \dot{x} + kx = ilB$

équation mécanique

- Aspects électriques :



loi des mailles :

$$u = Ri + L \frac{di}{dt} - e$$

$$\text{Soit } u = L \frac{di}{dt} + Ri + Blv$$

équation électrique

d'alimentation des HP

bilan énergétique : on multiplie l'équation mécanique par la vitesse (\dot{z}) :

$$m\ddot{z}\dot{z} + kz\dot{z} + \alpha\dot{z}\dot{z} = \cancel{iLBz} = 1 \text{ Papp}$$

on multiplie l'équation électrique par i :

$$ui = L \frac{di}{dt} i + Ri i + \cancel{BLvi} = BLzi \xrightarrow{\substack{\text{couplage} \\ \text{électromé-} \\ \text{trique}}} = BLzi^2 = |Pfin|$$

On regroupe ces 2 équations :

$$ui = L \frac{di}{dt} i + Ri^2 + m\ddot{z}\dot{z} + kz\dot{z} + \alpha\dot{z}^2$$

on, $\frac{di}{dt} i = \frac{d}{dt}(i^2/2)$, $\dot{z}\dot{z} = \frac{d}{dt}(\dot{z}^2/2)$ et $\alpha\dot{z} = \frac{d}{dt}(\alpha^2/2)$

D'où $ui = \frac{d}{dt} \left(\frac{1}{2} Li^2 + \frac{1}{2} mv^2 + \frac{1}{2} k z^2 \right) + Ri^2 + \alpha \dot{z}^2$

puissance fournie par l'alimentation du HP

puissance dissipée par effet Joule

puissance transmise à l'onde sonore (+/- disséminée)

élab *ec* *epc*

puissance dissipée par effet Joule

puissance transmise à l'onde sonore (+/- disséminée)

réel en moyenne

envoyer TP ...